

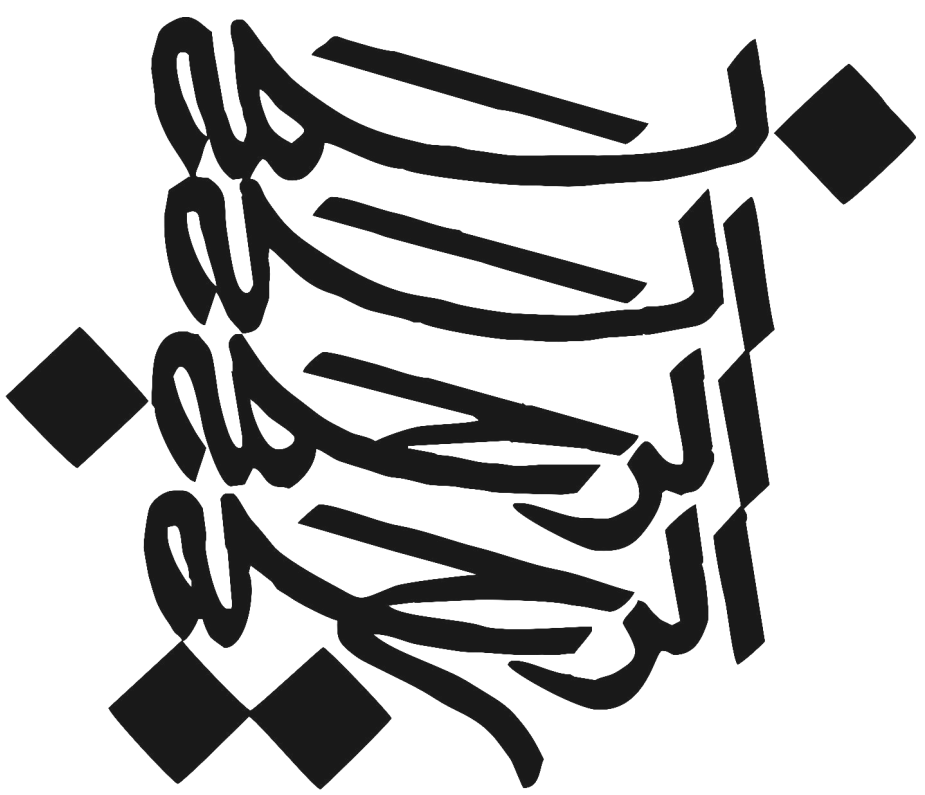
مطالعه‌ی تجربی تولید حباب در اثر ناپایداری کمانش و مارپیچش در شاره‌های وشكسان

پایان‌نامه کارشناسی ارشد

محمد حسن خاتمی

استاد راهنما: دکتر مهدی حبیبی

خرداد ۱۳۹۰



تَهْلِيق بِهِ پُل، مَادِر و بِرَادِرَانْ.

قدرتانی و تشکر

از تمامی دوستانی که مرا در طول مدت تحصیل یاری کردند تشکر می‌کنم.

چکیده

در این پایان نامه به صورت آزمایشگاهی به مطالعهٔ حباب‌های تولید شده در اثر مارپیچش و کمانش در سیال و شکسان می‌پردازیم. حباب‌های مورد مطالعه را به دو دستهٔ حباب‌های ناشی از تاشدن نوسانی روبان سیال و شکسان و حباب‌های ناشی از مارپیچش ریسمان سیال و شکسان تقسیم بندی می‌کنیم. در حالت تاشدن نوسانی روبان سیال چهار حالت کلی در الگوی حباب‌ها مشاهده می‌شوند که در تمامی و شکسانی‌های مورد آزمایش تولید می‌شوند. در تمامی این حالت‌ها حباب‌های تولید شده تک‌اندازه می‌باشند. مارپیچش ریسمان سیال به پنج حالت تقسیم می‌شود که در چهار حالت آن حباب تشکیل می‌شود حباب‌های تولید شده در تمامی حالت‌ها به جز حالت کمانش ثانویه‌ی ریسمان سیال تک‌اندازه می‌باشند. در حالت حباب‌های ناشی از مارپیچش ثانویه‌ی ریسمان سیال حباب‌های تولید شده از الگوی مارپیچه‌های فرما تبعیت می‌کنند که با ارایه‌ی مدلی ساده اشکال ایجاد شده توسط این حباب‌ها را تولید کردیم.

فهرست

چکیده	پنج
مقدمه	نه
۱ مروری بر کارهای انجام شده در مورد حباب‌ها	
۱.۱ مقدمه	۱
۲.۱ وشکسانی	۲
۳.۱ سیال وشکسان	۳
۴.۱ حرکت مارپیچه‌ای	۴
۵.۱ کارهای انجام شده در مورد حباب‌ها	۵
۱.۵.۱ حباب‌های ایجاد شده در اثر برخورد ریسمان سیال با سطح	۱۰
۲.۵.۱ حباب‌های ناشی از تا شدن نوسانی روبان سیال	۱۰
۲ حباب‌های ناشی از حرکت نوسانی روبان سیال	

۱۲	۱.۲ مقدمه
۱۳	۲.۲ چیدمان آزمایشگاهی
۱۶	۱.۲.۲ انواع تاشدن
۲۱	۲.۲.۲ حباب‌های ایجاد شده در روغن با وشكسانی cS ۸۹۰۰
۲۷	۳.۲.۲ حباب‌های ایجاد شده در روغن با وشكسانی cS ۶۱۵۰
۳۸	۴.۲.۲ حباب‌های ایجاد شده در روغن با وشكسانی cS ۳۴۵۰
۴۷	۳.۲ نمودار مکان تشکیل حباب‌ها
۴۸	۴.۲ جمع‌بندی

۳ حباب‌های ناشی از برخورد ریسمان سیال وشكسان با سطح جامد

۵۰	۱.۳ مقدمه
۵۱	۲.۳ روشی آزمایشگاهی
۵۲	۲.۳.۱ حالت‌های ایجاد شده در اثر برخورد رشته‌ی سیال با سطح جامد و حباب‌های ناشی از آن‌ها
۵۲	۴.۳ جریان ایستای محوری ریسمان سیال
۵۳	۵.۳ حالت تاشدن نوسانی ریسمان سیال
۵۴	۶.۳ حالت مارپیچش ریسمان سیال
۵۶	۷.۳ حالت مارپیچش ثانویه‌ی ریسمان سیال
۵۸	۱.۷.۳ نوع مارپیچش‌های حباب‌های منظم و شبیه‌سازی آن‌ها
۶۱	۸.۳ حالت کمانش ثانویه‌ی ریسمان سیال

۹.۳ جمع‌بندی

۶۵

۴ جمع‌بندی

مراجع

۶۹

مقدمه

ریختن سیال روی سطح از مشاهداتی است که به صورت معمول برای همه‌ی ما اتفاق می‌افتد. پدیده‌های جالبی که هنگام ریخته شدن سیال بر روی سطح اتفاق می‌افتد، توسط گروههای بسیاری به صورت تئوری، شبیه سازی و آزمایشگاهی مورد مطالعه قرار گرفته است. یکی از پدیده‌های جانبی که هنگام ریخته شدن سیال بر روی سطح رخ می‌دهد، تولید حباب است.

حباب‌های تولید شده در صنایع، همچون صنایع شیشه و بلور، مواد غذایی، بهداشتی و آرایشی و تقریباً تمامی صنایعی که به نوعی با سیالات سروکار دارند، مورد توجه است. در صنایع غذایی و بهداشتی وجود حباب‌های هوا در مواد تولیدی باعث ماندگاری کمتر مواد و فساد سریعتر آن‌ها می‌شود. به همین دلیل این صنایع به دنبال راهکارهایی برای عدم ایجاد حباب در خط تولید خود هستند. در صنایع شیشه و بلور وجود حباب‌ها می‌تواند باعث افزایش ضایعات کارخانه‌ها و درنتیجه کاهش سود آن‌ها شود. وجود حباب‌ها با ترکیب‌بندی‌های خاص باعث تولید وسائل تزئینی در صنایع شیشه و بلور شده و به افزایش سود کارخانه کمک می‌نماید. وجود حباب در صنایع موشكی هنگام پر کردن مخزن موشك‌ها^[۲۰] یا هنگام ذخیره سازی زباله‌های هسته‌ای در مخازن شیشه‌ای^[۲۱] می‌تواند مشکلات جدی ایجاد کند.

برای مطالعه‌ی حباب‌ها در سیالات و شکسان، برای راحتی کارسیالی که استفاده می‌کنیم باید بدون تغییرات عمدی چگالی و کشش سطحی، بازه‌ی وسیعی از وشكسانی را داشته باشد؛ بدین دلیل ما از روغن سیلیکون استفاده می‌کنیم. برای انجام آزمایش ما از دونوع شکاف (روزنہ) خطی^۱ و دایروی^۲ برای خروج روغن استفاده می‌کنیم. این شکاف‌ها به دلیل شکل خاص خود شکل‌های معینی از شاره را هنگام خروج از شکاف ایجاد می‌کنند. سیال خارج شده از شکاف بصورت یک روبان سیال و سیال خارج شده از روزنہ دایروی بصورت یک ریسمان سیال پایین می‌آید. صفحه‌ی سیال هنگام فرود به علت شکل خاص خود به روی خود تا می‌شود و ایجاد بالشتک می‌کند که در شرایط خاصی این بالشتک‌ها می‌توانند مقداری هوا را بین تاهای خود به دام اندازند و ایجاد حباب‌های منظم کنند. حال اگر از روزنہ دایره‌ای استفاده کنیم، شاره‌ی استوانه‌ای تولید شده،

slit^۱

circular^۲

هنگام رسیدن به سطح ایجاد مارپیچ می‌کند، فرکانس مارپیچ با تغییرات ارتفاع و نرخ شارش تغییر می‌کند و این تغییرات در شرایط خاص باعث ایجاد حباب‌های منظم و غیر منظم در سیال پایین سطح می‌شود که کار ما مطالعه‌ی رفتار این حباب‌ها است.

در فصل اول این پایان‌نامه ابتدا تعاریف و مفاهیم اولیه‌ی مورد استفاده در پایان‌نامه را معرفی می‌کنیم، سپس به صورت خلاصه تعدادی از کارهای قبلی انجام شده بر روی حباب‌ها را مرور می‌کنیم. در فصل دوم کارهای آزمایشگاهی انجام شده بر روی حباب‌های ناشی از تاشدن رویان سیال را معرفی می‌کنیم. ابتدا به معرفی چیدمان آزمایشگاهی پرداخته سپس کارهایی را که بر روی حباب‌های ناشی از تاشدن رویان سیال انجام داده‌ایم بیان می‌کنیم. در فصل سوم کارهای آزمایشگاهی انجام شده بر روی حباب‌های ناشی از مارپیچش ریسمان سیال را مورد بررسی قرار می‌دهیم. در این فصل نیز ابتدا چیدمان آزمایشگاهی خود را معرفی می‌کنیم، سپس حالت‌هایی را که در اثر برخورد ریسمان سیال با سطح ایجاد می‌شوند را معرفی کرده و حباب‌های ناشی از هر حالت را بررسی می‌کنیم. در این فصل مدل ساده‌ای برای مسیر حرکت حباب‌های منظم در حالت مارپیچش ثانویه ارایه خواهد شد. در فصل چهارم که فصل آخر این پایان‌نامه است به جمع‌بندی کلی کارهای انجام شده بر روی حباب‌ها و نیز کارهایی که در آینده می‌توان انجام داد می‌پردازیم.

فصل اول

مروری بر کارهای انجام شده در مورد حبابها

۱.۱ مقدمه

بیشتر موادی که در زندگی روزمره‌ی خود با آن‌ها سروکار داریم، دریکی از دو حالت جامد^۱ یا سیال^۲ دسته‌بندی می‌شوند. یک تکه از جامد شکل مخصوص به خود را دارد؛ به گونه‌ای که وقتی نیروی خارجی اعمال شده بر آن تکه جامد را از روی آن برمی‌داریم، به شکل قبلی خود که در حالت عادی^۳ در آن قرار دارد، باز می‌گردد. در مقابل، سیالات هیچ شکل مخصوصی ندارند و با اعمال نیرو جریان پیدا می‌کنند [۱].

Solid^۱

Fluid^۲

Rest^۳

۲.۱ وشکسانی

در بیشتر سیالاتی که با آن‌ها آشنایی داریم، اگر تغییر کوچکی در یک ناحیه از سیال ایجاد کنیم، این تغییر در محدوده‌ی کوچکی در همان ناحیه اعمال می‌شود. برای توضیح بیشتر این مساله به تعریف کمیتی در سیال به نام وشکسانی می‌پردازیم. در بیشتر سیالات مخصوصاً سیالات مهمی چون هوا، آب، نفت یا جیوه، تنش واردہ بر سیال با نرخ تغییر شکل سیال رابطه‌ای خطی دارد. ما این سیالات را سیالات نیوتنی و ضریب تناسب این معادله را وشکسانی می‌نامیم.

فرض کنید که جریان موازی در امتداد صفحه‌ای تخت با سرعتی که در فاصله‌ی دور از صفحه U درجهت x قرار دارد، بردار y به صورت عمود بر صفحه و سرعت جریان $(U(y))^\circ$ در دستگاه کارتزین (x, y) قرار دارد. میدان جریان $(U(y))^\circ$ به صورت جریان تماسی موازی است.

برای دara بودن این جریان تماسی، به این صفحه نیروی اصطکاکی که منشا آن جریان است وارد می‌شود.

نیروی اصطکاک بر واحد سطح صفحه به صورت زیر داده می‌شود:

$$\sigma_f = \eta \frac{dU}{dy}$$

که به آن قانون اصطکاک وشکسانی نیوتن می‌گویند و در آن η ثابت وشکسانی دینامیک^۴ است [۲].

مقدار وشکسانی به ساختار شیمیایی ماده و تغییرات ترمودینامیکی سیال بستگی دارد. واحد وشکسانی دینامیک در SI برابر^۱ $Pa.s$ یا $Kg.m.s^{-1}$ (پاسکال ثانیه) و واحد آن در دستگاه گوسی، پواز P ^۵ است. در ادامه با وشکسانی سینماتیکی^۶ سیال، نیز آشنا می‌شویم که واحد آن در SI برابر با $m^2 s^{-1}$ و واحد آن در دستگاه گوسی $cm^2 s^{-1}$ یا استوکس^۷ S است.

Dynamic viscosity^۴

Poise^۵

Kinematic viscosity^۶

Stokes^۷

۳.۱ سیال و شکسان

اگر معادلات تشکیل دهنده برای سیال نیوتینی را در معادلات پایستگی جاگذاری کنیم به معادلات دیفرانسیلی پارهای می‌رسیم که به افتخار ناویر^۸ و استوکس^۹ به معادله‌ی ناویر-استوکس معروف است [۲]. معادله‌ی ناویر-استوکس به صورت زیر است:

$$\frac{d\vec{u}}{dt} + \vec{u} \cdot \nabla \vec{u} = -\frac{1}{\rho} \nabla P + \nu \nabla^2 \vec{u} + \frac{1}{\rho} \vec{F}$$

این معادله معادل قانون نیوتون در داخل سیالات است. این معادله و معادله‌ی پیوستگی:

$$\nabla \cdot \vec{u} = 0$$

به عنوان یک جفت معادله‌ی دیفرانسیل پارهای قلمداد می‌شوند که قوانین فیزیکی وارد بر ذرات در سیال نیوتونی را بازگو می‌کنند که در آن جمله‌ی اول از سمت چپ جمله‌ی ناشی از شتاب، جمله‌ی دوم از سمت چپ ناشی از شتاب همرفتی، جمله‌ی اول معادله از سمت راست جمله‌ی ناشی از گرادیان فشار، جمله‌ی دوم جمله‌ی ناشی از وشکسانی و جمله‌ی آخر ناشی از نیروهای خارجی وارد بر ذرات سیال است. در اینجا $\frac{\eta}{\rho}$ بیانگر وشکسانی سینماتیکی سیال است.

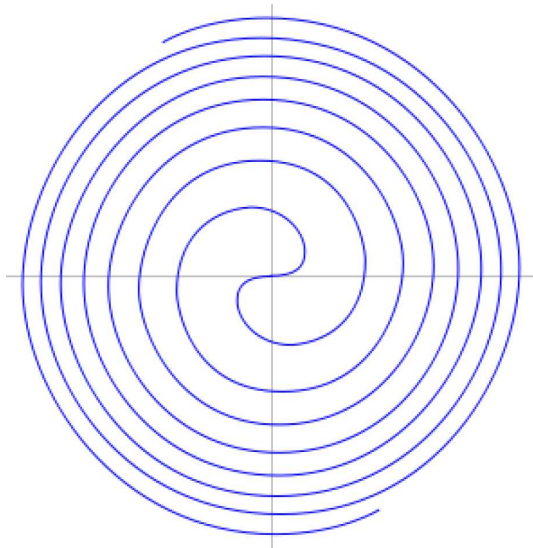
اگر نیروهای اصطکاکی را در سیال از بین ببریم، نیروی محرک وارد بر سیال باعث سرخوردن سیال می‌شود. به همین خاطر است که می‌توان پس از هم زدن چای قاشق خود را از آن خارج کرده و مدتی به تماشای چرخش چای در فنجان مشغول شویم. وشکسانی در مقابل این تغییرات که از حرکت سیال ناشی می‌شود مقاومت می‌کند و سیال را به حالت سکون می‌رساند.

مثال بالا تجربه‌ی ساده‌ای است که بستگی زیادی به مقدار عدد رینولدز $Re = \frac{UD}{\nu}$ دارد که در آن U

C. L. M. H. Navier^۸

Sir G. G. Stokes^۹

Reynolds Number^{۱۰}



شکل ۱-۱: مارپیچه‌ی فرما [۳].

سرعت نوعی قاشق، D قطر فنجان و n وشكسانی سینماتیک چای است. اگر $1 > Re$ باشد جریان غیر وشكسان است و می‌توان در آن از نیروهای وشكسان در برابر جملات لختی صرف نظر کرد ولی اگر $1 < Re$ باشد بیانگر وشكسان بودن جریان است و بدین معنی است که در آن می‌توان از جمله‌ی لختی صرف نظر کرد.

۴.۱ حرکت مارپیچه‌ای

مارپیچه^{۱۱} خمی است که از یک نقطه‌ی مرکزی شروع شده و هرچه دور نقطه‌ی مرکزی می‌پیچد از آن دورتر می‌شود (شکل ۱-۱) [۳]. مارپیچه‌ها به انواع مختلفی تقسیم می‌شوند. مارپیچه‌های ارشمیدسی حالتی از مارپیچه‌ها هستند که از تابع زیر تبعیت می‌کند:

$$r = a + b\theta^{\frac{1}{n}}$$

که در آن r شعاع، θ زاویه‌ی قطبی و a و b ثابت‌های معادله هستند. حالت خاصی از مارپیچه‌های ارشمیدسی که برای $n = 2$ اتفاق می‌افتد مارپیچه‌های فرما نام دارد که در طبیعت به وفور یافت می‌شود [۴].

Spiral ۱۱

۵.۱ کارهای انجام شده در مورد حباب‌ها

حباب به سیستمی می‌گویند که در آن مقداری گاز در داخل سیال به دام افتاده باشد. تولید حباب از تجربیاتی است که در زندگی روزمره به دفعات رخ می‌دهد. در ادامه به تعدادی از کارهایی که قبلاً بر روی حباب‌ها انجام شده می‌برداریم.

۱.۵.۱ حباب‌های ایجاد شده در اثر برخورد ریسمان سیال با سطح

در گذشته کارهای زیادی روی دینامیک ریسمان سیال هنگام افتادن بر روی سطح انجام شده است. در این حالت ریسمان سیال پس از افتادن بر روی سطح شروع به ایجاد حالت‌های مختلفی می‌کند که قبلاً مورد مطالعه قرار گرفته‌اند [۱۳ – ۵]. در برخی از این حالت‌ها سیال می‌تواند هوا را به دام انداخته و ایجاد حباب کند.

در سال ۱۹۹۷ کلن^{۱۲} و لاشرا^{۱۳} کارهایی را روی عمق نفوذ حباب‌های ایجاد شده در آب در اثر ورود یک رشته‌ی استوانه‌ای آب به داخل مخزن آب انجام دادند [۵]. آب از روزنه‌ای به قطر داخلی D با سرعت میانگین v با زاویه‌ی θ به داخل مخزن آبی در فاصله‌ی h از روزنه وارد می‌شود (شکل ۱-۲)).

در ابتدا آب به صورت عمود بر سطح مخزن وارد می‌شود ($\theta = 90^\circ$). هنگامی که سرعت رشته‌ی سیال از سرعت آستانه‌ی v_c بیشتر باشد، رشته‌ی سیال می‌تواند بر نیروهای مویینگی^{۱۴} غلبه کند و لایه‌هایی از هوا داخل سیال شود. لایه‌های هوا با جریان سیال داخل مخزن می‌شوند و به علت تعادل بین فرایندهای تکه‌تکه شدن^{۱۵} و به هم آمیختگی^{۱۶} اندازه‌ی حباب‌ها بزرگتر می‌شود. در بیشترین عمق نفوذ حباب‌ها به خاطر نیروهای شناوری^{۱۷} که به حباب‌ها وارد می‌شود، به نیروی وشکسانی وارد شده بر حباب‌ها غلبه می‌کند و حباب‌ها به

Christophe Clanet ^{۱۲}

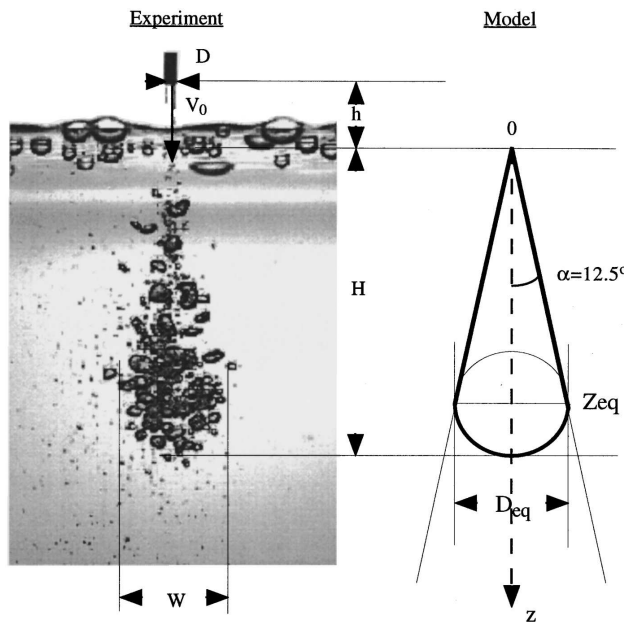
Juan C. Lasheras ^{۱۳}

Capillary forces ^{۱۴}

Break up ^{۱۵}

Coalescence Processes ^{۱۶}

Buoyancy ^{۱۷}



شکل ۱-۲: جت آب داخل شده به مخزنی از آب ($v_0 = ۲/۴ m/s$, $D = ۲/۱۵۹ mm$, $h/D = ۷$, $H = ۲/۱۵۹ mm$). [۵].

سمت سطح سیال حرکت می‌کنند. این برگشت حباب‌ها تقریباً در عمق H از سطح سیال به وقوع می‌پیوندد. البته حباب‌های ریزتری وجود دارند که به عمق‌های بیشتری نفوذ می‌کنند. با استفاده از پایستگی تکانه‌ی خطی جت سیال خروجی از روزنه و جت سیال در عمق ($z = H$), برای سرعت متوسط شاره ($U_j(z)$) داریم:

$$U_j(z) = v_0 \frac{D}{D_j(z)}$$

با درنظر گرفتن نتایج آزمایشگاهی داریم که جت سیال در عمق H در نیم زاویه‌ی $\alpha/2 = ۱۲/۵^\circ$ پخش شده است. پس می‌توان عمق نفوذ H را به عنوان عمق نفوذ جریان در نظر گرفت که در آن سرعت نفوذ جت سیال با سرعت نهایی حباب‌ها U_T برابر است ($U_j(H) = U_T$). پس:

$$\frac{H}{D} = \frac{1}{2 \tan \alpha} \frac{v_0}{U_T}$$

تنها مشکل باقی مانده محاسبه‌ی U_T حباب‌هاست که به بیشترین عمق نفوذ H می‌رسند. بر اساس کارهای قبلی [۱۱] سرعت یک تک حباب برای این آزمایش $U_T \approx ۲۲/۵ cm s^{-1}$ بدست می‌آید که به صورت کیفی با سرعت‌های بدست آمده به صورت تجربی هم خوانی دارد. برای پیدا کردن سرعت حباب‌های خوش‌های ایجاد

شده در این آزمایش از فرمول $U_T = U_{T_{bubble}} \sqrt{1 - \alpha_G}$ استفاده می‌کنیم که در آن α_G نسبت هوا در توده حباب‌هاست [۱۵]. با در نظر گرفتن $U_T = ۰/۲۲ ms^{-1}$ محاسبات نشان می‌دهد که $\frac{H}{D} \simeq ۱۰/۲۵ v$ بdst می‌آید که بسیار به نتایج کارهای قبلی نزدیک است [۱۴]. به علت افت و خیزهای زیادی که در تعیین H وجود دارد، از $Z_{eq} = z$ به عنوان مرجع استفاده می‌کنیم شکل (۱-۲). با این تغییر داریم که $D_{eq} = ۲ \tan \alpha Z_{eq}$ و در نتیجه:

$$\frac{H}{D} = \frac{1 + \tan \alpha}{2 \tan \alpha} \frac{v_\circ}{U_T}$$

بیشترین عرض توده‌ی حباب‌ها، w ، با استفاده از Z_{eq} را می‌توان به صورت $\frac{w}{U_T} = \frac{v_\circ}{D}$ نوشت. حال با استفاده از معادلات قبل برای شاره‌ی وارد شده با زاویه‌ی θ به داخل مخزن سیال داریم:

$$\frac{H}{D} = \frac{(1 + \tan \alpha) \cos \theta + \tan \alpha \sin \theta \cos(\theta - \alpha)}{2 \tan \alpha} \frac{v_\circ}{\cos \alpha} \frac{U_T}{D}$$

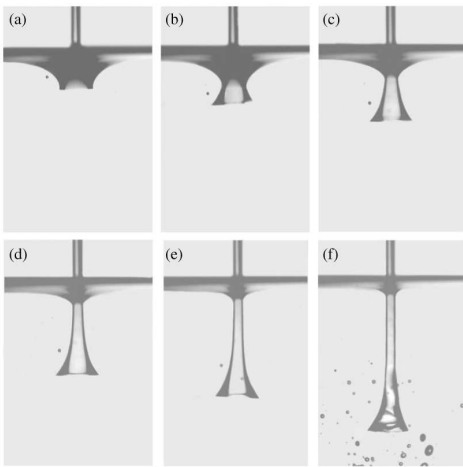
برای داده‌های $\theta > ۳۰^\circ$ این معادله با نتایج آزمایشگاهی با خطای ۱۵ درصد هم خوانی دارد ولی برای $\theta < ۳۰^\circ$ این هم خوانی از بین می‌رود.

در سال ۲۰۰۴ لورنزا^{۱۸}، کقه^{۱۹} و ایگرز^{۲۰} کاری روی حباب‌های ناشی از وارد شدن ریسمان سیال و شکسان داخل مخزنی از همان سیال را ارائه دادند [۶]. در این کار از روغن سیلیکون با وشکسانی $P = ۹۷۰ \eta$ استفاده شد. ریسمان سیال و شکسان با سرعت v به داخل مخزنی از همان سیال وارد می‌شود، اگر این سرعت از سرعت بحرانی v_c بیشتر باشد این ریسمان سیال لایه‌ی هوایی را با خود به داخل مخزن سیال می‌برد. در کارهای قبلی سرعت بحرانی به صورت $v_c \propto \ln(\frac{\eta}{\eta_\circ})$ به دست می‌آید که در آن η وشکسانی سیال و η_\circ وشکسانی سیال محیط است که بیشتر موقع سیال محیط هواست ۱۷-۱۶.

۱۸ Elise Lorenceau

۱۹ David Quere

۲۰ Jens Eggers



شکل ۱-۳: جتی از سیال و شکسانی (در اینجا روغن سیلیکون با وشکسانی $\eta = ۹۷۰ mPas$ و قطر $۱/۵ mm$) داخل مخزنی از همان سیال می‌شود. (a) حالتی که سرعت سقوط جت کمتر از سرعت بحرانی است. (b-e) حالتی که جت سیال به حالت ایستا رسیده و شکل ترومپت به خود گرفته است [۶].

همان طور که در شکل (۱-۳) دیده می‌شود، جت سیالی با قطر $۱/۵ mm$ با وشکسانی تقریباً ۱۰۰۰ برابر آب وارد مخزن سیالی از همان جنس می‌شود. سرعت سیال فرودی با تغییر ارتفاع سقوط ریسمان از سطح مخزن تنظیم می‌شود. در شکل (۱-a) سرعت سقوط کمتر از سرعت v_c است و شکل دیده شده به صورت ایستا است. اگر سرعت سقوط از سرعت بحرانی بیشتر شود، سطح شکسته و ریسمان سیال داخل مخزن شده و همراه با خود لایه‌ی هوایی را داخل مخزن سیال می‌کند شکل (۱-b) تا شکل (۱-f). هنگامی که ریسمان سیال به آخرین عمق نفوذ خود می‌رسد شکلی شبیه به ترومپت به خود می‌گیرد و لایه‌ی هوا به حباب‌هایی شکسته و داخل سیال می‌شود.

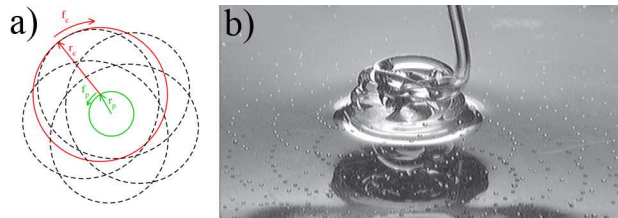
در سال ۲۰۰۸ حبیبی^{۲۱}، مولر^{۲۲}، ریبه^{۲۳} و بن^{۲۴} کاری را درباره‌ی حباب‌های ایجاد شده در اثر کمانش ریسمان سیال به هنگام برخورد با سطح جامد منتشر کردند[۱۸]. در این کار از روغن سیلیکون با وشکسانی‌های مختلف ν استفاده شد و مشاهده شد که حباب‌های منظم مارپیچی برای وشکسانی $\nu = ۳۰۰ cm^2 s^{-1}$ برای قطر روزنی خروج سیال $d = ۱/۵, ۱/۶ mm$ و نرخ شارش $Q = ۰/۰۴۷ - ۰/۱۳۷ cm^3 s^{-1}$ دیده می‌شود. در محدوده‌ی خاصی از رژیم گرانشی

M. Habibi ^{۲۱}

P. C. F. Moller ^{۲۲}

N. M. Ribe ^{۲۳}

D. Bonn ^{۲۴}



شکل ۱-۴: (a) r_c و r_p شعاع و فرکانس مارپیچه ریسمان سیال و f_p و f_c شعاع و فرکانس حرکت تقدیمی مارپیچه روی یک دایره که از حرکت مرکز مارپیچه ریسمان سیال ایجاد می‌شود هستند. در اینجا $r_c/r_p = 3$ و $f_c/f_p = 4$. (b) ریسمان سیال حباب‌های هوا را به دام می‌اندازد و حباب‌های به دام افتاده اشکال مارپیچه‌ای زیبایی را پدید می‌آورند. قطر توده‌ی سیال در حدود 1 cm است [۱۸].

مشاهده می‌شود که هوا بین رشته‌های سیال به دام افتاده و تولید حباب می‌کند که این حباب‌ها هنگام خروج از زیر توده‌ی سیال به صورت مارپیچ‌های پنج شاخه بر روی سطح حرکت می‌کنند (شکل ۱-۴).

در این حالت از مارپیچ ریسمان سیال مرکز مارپیچ حول دایره‌ای که از حرکت خود ایجاد می‌کند با بسامدی حدود ۲۵ درصد فرکانس مارپیچش خود حرکت تقدیمی می‌کند. به همین خاطر مارپیچ‌های جدید روی مارپیچ قبلی ایجاد نمی‌شوند و در فاصله‌ی بین دو مارپیچش حباب‌های هوا به دام می‌افتدند. این حباب‌ها تشکیل پنج شاخه‌ی منظم را می‌دهند. این پنج حباب در چهار دوره‌ی مارپیچش ایجاد می‌شوند (شکل ۱-a). اندازه‌ی حباب‌ها با افزایش نرخ شارش افزایش می‌یابد. اندازه‌ی حباب‌ها با تغییرات ارتفاع نیز تغییر می‌یابد. چرخش شاخه‌های مارپیچش حباب‌ها به نرخ شارش و ارتفاع سقوط بستگی دارد.

برای مدل سازی این حرکت با فرض بقای حجم و ثابت بودن ارتفاع فیلم سیال روی سطح داریم که سرعت حرکت حباب‌ها روی سطح از $\frac{1}{r} \sim r^{1/5}$ یا $\frac{dr}{dt} \sim r^{1/5}$ پیروی می‌کند. از آنجایی که مولد حباب با فرکانس چرخشی ثابتی حرکت می‌کند، داریم $a = \pm a\theta^{1/5}$ که در آن r شعاع، a یک مقدار ثابت و θ زاویه است. این الگوی حرکت حباب‌ها از الگوی حرکت مارپیچش‌های فرما تبعیت می‌کند. برای مدل کردن این حرکت فرض می‌کنیم که مرکز مارپیچش ریسمان با بسامد f_p حول دایره‌ای به شعاع r_p می‌چرخد و فرکانس و شعاع مارپیچش‌ها حول این دایره به ترتیب f_c, r_c می‌باشد شکل (۱-۴). بنابراین مسیر حرکت حباب‌ها از رابطه‌ی

زیر تبعیت می کند:

$$x(t) = r_p \cos(2\pi f_p t) + r_c \cos(2\pi f_c t)$$

$$y(t) = r_p \sin(2\pi f_p t) - r_c \sin(2\pi f_c t)$$

مشاهدات نشان داده که برای این آزمایش $4 \approx \frac{f_c}{f_p} \approx \frac{r_c}{r_p}$ است. آنها در این کار نحوه محاسبه تعداد شاخه های حباب های ایجاد شده برای یک آزمایش نوعی را نیز محاسبه کرده اند.

۲.۵.۱ حباب های ناشی از تاشدن نوسانی رویان سیال

کارهای زیادی در گذشته روی دینامیک تاشدن نوسانی رویان سیال هنگام افتادن بر روی سطح انجام شده است [۲۳-۲۶]. در این حالت رویان سیال و شکسان هنگام فروافتادن بر روی سطح ابتدا به شکل جریانی ایستا روی سطح فرو می آید سپس با افزایش ارتفاع رسیدن به ارتفاع آستانه شروع به تاشدن می کند و روی خود تا می شود. با افزایش ارتفاع دینامیک خم شدن نیز تغییر می کند. در این حالت تاهای سیال می تواند هوا را داخل خود به دام انداخته و ایجاد حباب کند.

در سال ۲۰۰۸ پولینی ^{۲۵} و چسنند-موتن ^{۲۶} کاری را درباره حباب های ایجاد شده در اثر تاشدن نوسانی رویان سیال ارایه کردند [۱۹]. در این کار از روغن سیلیکون با وشکسانی $P = 100 \text{ dyne/cm}^2$ و چگالی $\rho = 93 \text{ g/cm}^3$ استفاده کردند. شکاف مورد استفاده آنها نیز شکاف خطی با ابعاد $2 \times 2 \text{ cm}^2$ بود. در چیدمان آزمایشگاهی همان طور که در شکل (۵-۱-a) آمده است روغن سیلیکون از شکاف S با طی ارتفاع H داخل مخزنی از روغن سیلیکون مشابه می افتد. در این جا روغن با استفاده از پیچ ارشمیدسی A به مخزن بالایی C بازگردانده می شود.

B. Pouliquen ^{۲۵}

M. Chassande-Mottin ^{۲۶}